

九州大学工学部 正員。坂井 晃  
" " " 落合英俊

### 1. まえがき

飽和砂地盤の地震応答解析には、間隙水圧を考慮した有効応力法があり、地震時の土の非線形モデルとして弾塑性論等の数多くの構成式が用いられてきた。しかし、これらの構成式は多くの材料定数を有し、任意の応力経路に対する間隙水圧の算定法も一般に複雑である。筆者らは、すでにせん断仕事を用いた地震時の簡潔な間隙水圧モデルを提案しているが<sup>1)</sup>、本研究では、この間隙水圧モデルを土の応力・ひずみ関係として双曲線型モデルに適用し、水平地盤の液状化解析を行った。本解析では、各半サイクルごとに間隙水圧を評価する非線形モデルを提案して簡単的な有効応力解析(W<sub>s</sub>法)を行うとともに、等せん断仕事線を用いて各時間ステップごとに間隙水圧を算出していく非線形解析(等せん断仕事線法)を行い、両者の解析結果を比較した。

### 2. せん断仕事を基づく間隙水圧の評価<sup>1)</sup>

液状化過程において累積していくせん断仕事をW<sub>s</sub>は、そのときの間隙水圧uと繰返せん断応力τを用いて次式で表わされる。  

$$\frac{W_s}{G_0} = \beta' \left\{ \exp(\alpha' u/G_0) - 1 \right\} + \Gamma \left\{ \exp(\lambda - \tau/G_0) - 1 \right\} \quad (\alpha', \beta', \Gamma \text{ は材料定数}) \quad (1)$$

$$\text{ここで, } \lambda = C_1 \left\{ \exp(C_2 \cdot u/G_0) - 1 \right\} \quad (C_1, C_2 \text{ は材料定数}) \quad (2)$$

定数β', Γ, λは拘束圧の関数、定数α', C<sub>2</sub>は相対密度の関数である。式(1)は、各時間ステップごとに間隙水圧を算出するときに用いられる関係式であるが、その中の右辺第一項は繰返せん断応力τがゼロになるとき間隙水圧を算定する簡単な有効応力解析に用いられる。

### 3. 飽和砂地盤の液状化解析

#### 3. 1 双曲線型モデルを用いた非線形解析および解析手法

本解析は、双曲線で骨格曲線を表示する Hardin - Drnevich モデルと Masing の規則による履歴曲線を組み合わせた応力・ひずみ曲線を基本とした。初期せん断剛性G<sub>0</sub>は Richard's の式、 $G_0 = 6930 (2.17 - e)^2 / (1+e) \sqrt{e}$  を使用し、土の破壊規準としてモール・クーロンの破壊規準を用いた。また、G<sub>0</sub>および規準ひずみγ<sub>r</sub>は、液状化過程における有効応力の値によって逐次変化させた。

各半サイクルごとに間隙水圧を評価する非線形モデルが兵動らによって提案されているが<sup>2)</sup>、本提案による解析法(W<sub>s</sub>法)は以下に示す通りである。図-1の最初の半サイクル終了点a<sub>2</sub>において間隙水圧が算出(式(1)の右辺第一項)され、次の半サイクルのG<sub>0</sub>'、γ<sub>r</sub>'が決定される。また、除荷曲線a<sub>2</sub>a<sub>3</sub>は、G<sub>0</sub>・γ<sub>r</sub>によつて定まる骨格曲線上の点でかつ Masing の規則に従う履歴曲線が点a<sub>2</sub>を通過するような仮想の折返し点a<sub>1</sub>'を求めることによって与えられる。さらに、点a<sub>5</sub>のように除荷曲線がせん断ひずみ軸と負のせん断ひずみ領域で交わる場合、点a<sub>5</sub>以降の除荷曲線は、新たに求められた骨格曲線上に到達するまで前の半サイクルの除荷曲線をたどるものとする。

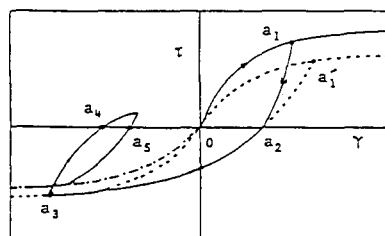


図-1 応力・ひずみ曲線

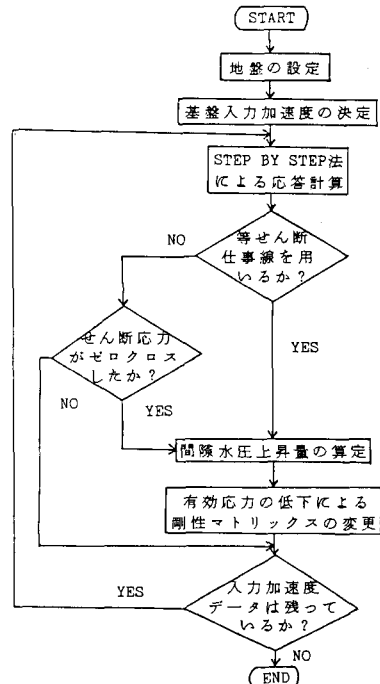


図-2 解析手順のフローチャート

一方、等せん断仕事線に基づく非線形解析（等せん断仕事線法）では、双曲線型のひずみ依存性を考慮するとともに、式(1)を用いて各時間ステップごとに間隙水圧を算出した。図-2は、以上の解析手順をまとめてフローチャートに示したものである。

本解析に用いたプログラムは MASH<sup>3)</sup>であり、図-3に示される厚さ 30m の均一な水平飽和砂地盤を 10 層に分割し、多質点系置換法によって動的応答解析を行った。ただし、粘性減衰マトリックスは省略した。地盤の種々の土質定数は、それぞれ比重  $G_s = 2.65$ 、静止土圧係数  $K_0 = 0.5$ 、内部摩擦角  $\phi' = 35^\circ$  である。地盤の相対密度  $D_r$  は、30%、50%、70% の 3 種類を用いた。また、入力波としては、El Centro 波を最大値  $0.1g$  に縮小した加速度波形を使用した。式(1)の定数は次式で与えられる。 $\alpha' = 0.06 D_r + 1.6$ ， $\beta' = 3.57 \times 10^7 D_r + 9.0 \times 10^5$ ， $\Gamma = 1.02 \times 10^{-6} D_r + 1.0 \times 10^{-4}$ ， $C_1 = 9.8 \times 10^{-4} D_r$ ， $C_2 = 0.032 D_r + 5.52$

### 3.2 解析結果

図-4 は、地表面から 4.5m の深さにおける間隙水圧の時系列を示したものである。Ws 法における間隙水圧は、地震開始後 2 秒あたりから急上昇し、等せん断仕事線法と同様の上昇傾向を示している。また、図-5 は等せん断仕事線法における有効応力経路であり、載荷初期に顕著な有効応力の減少がみられる。図-6 には、最終的な間隙水圧比  $u/u'$  の深さ方向分布が示されている。Ws 法と等せん断仕事線法による間隙水圧比はほぼ同一の値を示しており、Ws 法の簡易化された非線形解析においても各時間ステップごとに間隙水圧を評価する非線形解析と大きな差異は認められない。なお、図-7 は応力・ひずみ曲線を示したものであり、Ws 法においては常に骨格曲線を基に履歴曲線を決定しているために、原点を中心とした応力・ひずみ曲線が描かれる特徴がある。

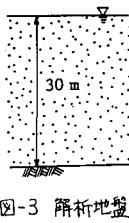


図-3 解析地盤

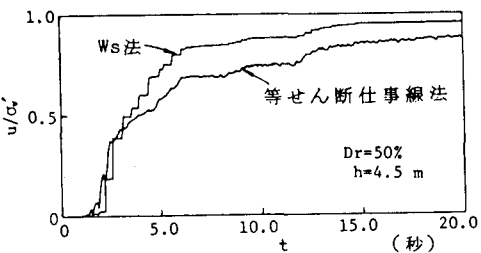


図-4 間隙水圧上昇の時系列

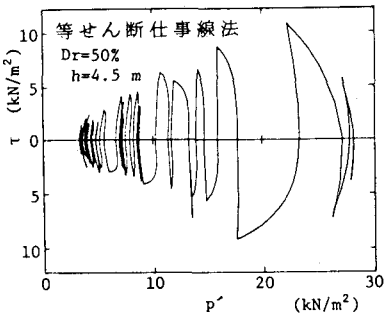


図-5 有効応力経路

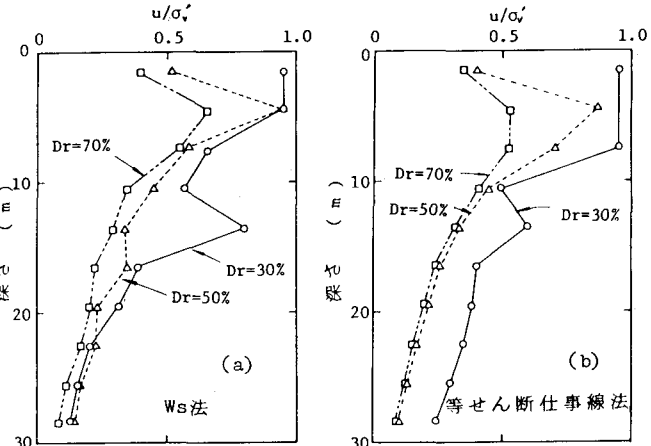


図-6 最大間隙水圧比の深さ方向分布

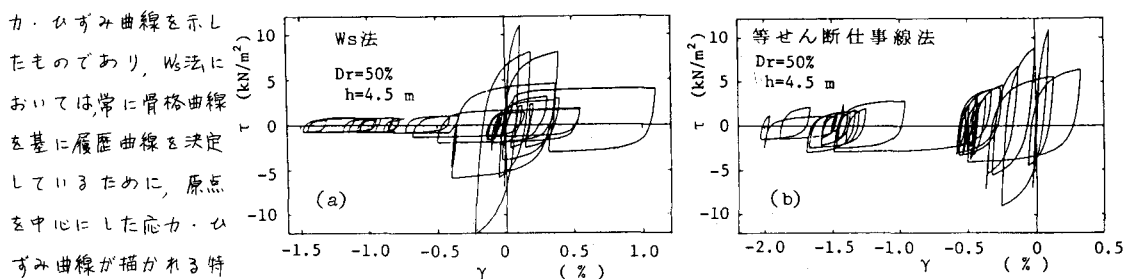


図-7 応力・ひずみ曲線

参考文献 1) 坂井・落合・杉本・久保：せん断仕事を用いた飽和砂の間隙水圧モデル、第20回土質工学研究発表会、1985。 2) 兵動・山内・橋路：飽和砂地盤の動的有効応力解析の簡易手法、土木学会論文集、第346号、pp. 57-66、1984。 3) Martin, P.P. and Seed, H.B.: "MASH: A computer program for the non-linear analysis of vertically propagating shear waves in horizontally layered deposits," Report No. EERC-78-23, University of California, Berkeley, Calif., 1978.